

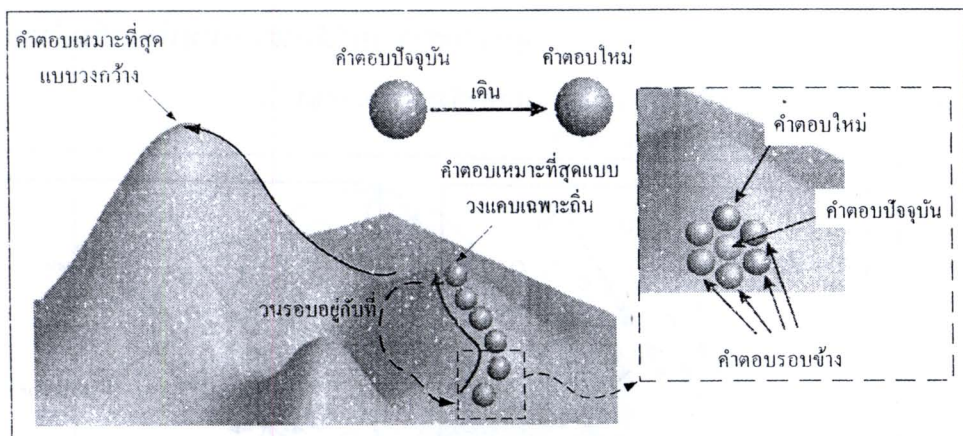
บทที่ 6

การปรับปรุงสมรรถนะตัวควบคุมพีไอโดยใช้วิธีการค้นหาแบบตามเชิงปรับตัว

6.1 บทนำ

การปรับปรุงระบบควบคุมกระแทกเชิงสำหรับห้องกระองกำลังแออิฟแบบขนาน ให้มีสมรรถนะการกำจัดสารมอนิกที่ดีที่สุด เป็นสิ่งที่ผู้วิจัยคาดหวังเป็นอย่างยิ่ง ในบทนี้จึงได้นำเสนอการปรับปรุงระบบดังกล่าว โดยการออกแบบตัวควบคุมแบบพีไอด้วยวิธีการทางปัญญาประดิษฐ์ ที่เรียกว่า วิธีการค้นหาแบบตามเชิงปรับตัว (Adaptive Tabu Search: ATS) (Puangdownreong, Areerak, Srikaew, Sujitjorn, and Totarong, 2002) วิธีการดังกล่าวถูกใช้เป็นเครื่องมือในการค้นหาค่าพารามิเตอร์ที่เหมาะสมให้กับตัวควบคุมแบบพีไอบนแกนดิจิติว นอกจากนี้ในบทนี้ได้มีการทำทบทวนขั้นตอนการค้นหาแบบตามเชิงปรับตัว การกำหนดขอบเขตการค้นหา แนวทางการออกแบบตัวควบคุมพีไอด้วยวิธีการค้นหาแบบตามเชิงปรับตัว รวมไปถึงนำเสนอผลการจำลองสถานการณ์และการเปรียบเทียบผลการออกแบบไว้ในบทนี้

6.2 ทบทวนการค้นหาแบบตามเชิงปรับตัว



รูปที่ 6.1 แนวคิดพื้นฐานของการค้นหาแบบตาม

การค้นหาแบบตาม (tabu search) (Glover, 1989) มีแนวคิดพื้นฐานมาจากการค้นหาคำตอน โดยการตัดสินใจเลือกคำตอนใหม่ในเส้นทางที่คาดว่าจะนำไปสู่คำตอนที่เหมาะสมที่สุด วิธีการดังกล่าวมีองค์ประกอบพื้นฐานของการค้นหา ดังรูปที่ 6.1 จากรูปสังเกตได้ว่า พื้นผิวที่กำหนดมี

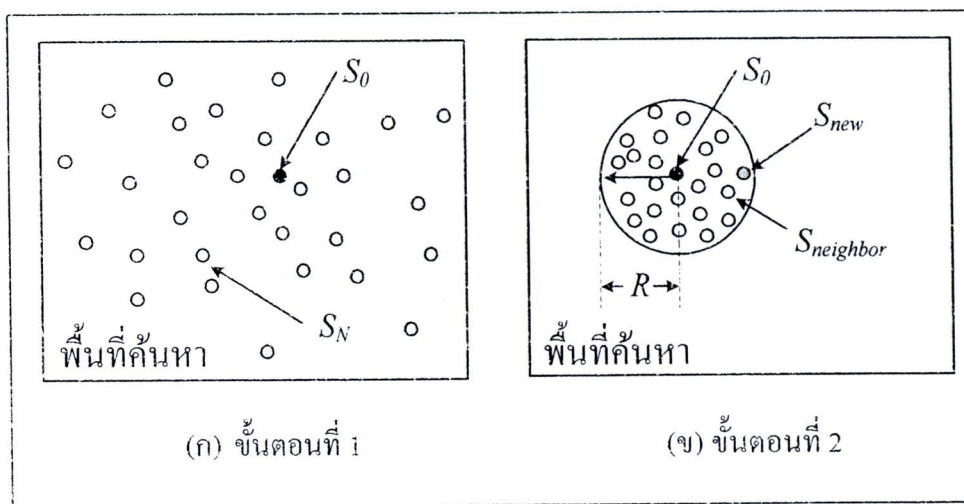
จุดหมาย คือ การหาค่าสูงสุดของพื้นผิว เริ่มต้นการค้นหาคำตอบจากจุดคำตอบปัจจุบันใด ๆ จะใช้หลักการเดิน (move operator) เพื่อทำการเลือกคำตอบใหม่ที่ดีกว่าคำตอบปัจจุบัน โดยอาศัยการประเมินค่าจากคำตอบรอบข้าง (neighborhood search) ภายในรัศมีเริ่มต้นที่กำหนด แล้วเลือกคำตอบที่ดีที่สุดขึ้นมาเป็นคำตอบใหม่ต่อไป จนกระทั่งได้คำตอบที่ดีที่สุด

จากขั้นตอนข้างต้น วิธีการค้นหาแบบตابุได้เพิ่มเติมเงื่อนไขการเดิน ได้แก่ เงื่อนไขการเดินไปยังคำตอบใหม่ที่ทำการประเมินไม่ดีกว่าคำตอบปัจจุบัน และเงื่อนไขหลีกเลี่ยงเส้นทางการค้นหาคำตอบที่ทำให้เกิดการวนรอบอยู่กับที่ (cycle avoidance) ทั้งนี้เพื่อให้อัลกอริทึมสามารถค้นหาคำตอบที่หลุดพ้นจากคำตอบเหมาะสมที่สุดแบบวงแคบเฉพาะถิ่น (local optimum avoidance) ไปยังเส้นทางการค้นหาคำตอบเหมาะสมที่สุดแบบวงกว้าง (global optimum)

วิธีการค้นหาแบบตابุเชิงปรับตัว (Adaptive Tabu Search: ATS) ได้รับการพัฒนาในปี พ.ศ. 2545 โดย กองพัน อารีรักษ์ และ สราชฎิ สุจิตร ซึ่งมีวัตถุประสงค์เพื่อที่จะปรับปรุงสมรรถนะการค้นหาคำตอบ ด้วยการเพิ่มกลไกการค้นหาเข้าไปในอัลกอริทึม คือ การเดินย้อนรอย (back tracking) และการปรับค่ารัศมีการค้นหา (adaptive search radius) ขั้นตอนการค้นหาด้วยวิธี ATS มีรายละเอียดสรุปได้ดังนี้

ขั้นตอนที่ 1 ทำการกำหนดจำนวนรอบสูงสุดในการค้นหา ($count_{max}$) กำหนดขนาดพื้นที่ค้นหาคำตอบ (S_0) และทำการสุ่มคำตอบเริ่มต้นภายนอกพื้นที่ค้นหาจำนวน S_N คำตอบ จากนั้นประเมินคำตอบที่ดีที่สุด เป็นคำตอบเริ่มต้น (S_o) แสดงดังรูปที่ 6.2 (ก)

ขั้นตอนที่ 2 ทำการสุ่มเลือกจำนวนคำตอบรอบข้าง ($S_{neighbor}$) และกำหนดรัศมีเริ่มต้น (R) เพื่อประเมินคำตอบที่ดีที่สุดภายนอกพื้นที่ค้นหา S_o ได้คำตอบที่ดีที่สุดเป็นคำตอบใหม่ (S_{new}) สำหรับรอบการค้นหาปัจจุบัน ($count_n$) แสดงดังรูปที่ 6.2 (ข)



รูปที่ 6.2 การกำหนดจำนวนคำตอบเริ่มต้น จำนวนคำตอบรอบข้าง และค่ารัศมีเริ่มต้น

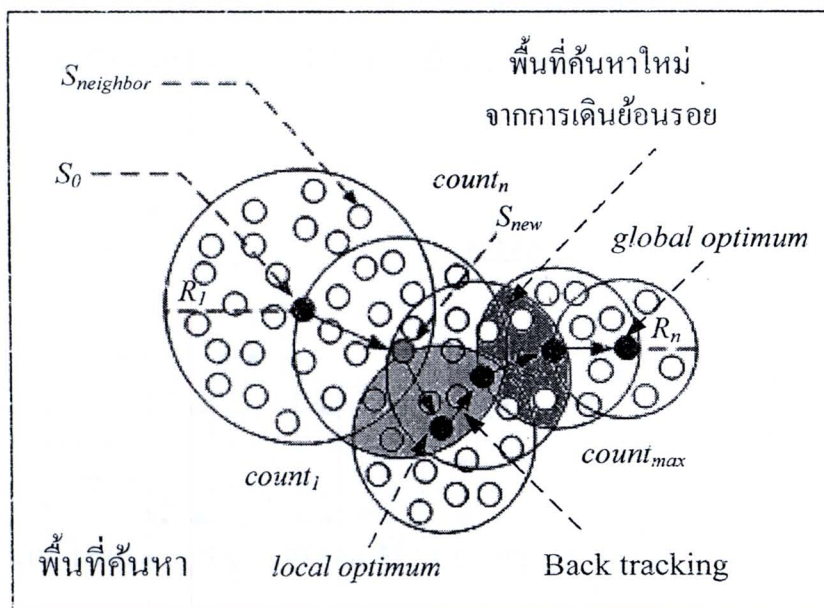
ขั้นตอนที่ 3 คำตอบใหม่ (S_{new}) ในรอบปัจจุบันจะเป็นคำตอบเริ่มต้น (S_0) สำหรับรอบการค้นหาถัดไป โดยเมื่อ $count_n < count_{max}$ อัลกอริทึมจะดำเนินการค้นหาตั้งแต่ขั้นตอนที่ 2 อีกรอบ จนกระทั่งได้คำตอบตามเงื่อนไขที่กำหนด หรือ $count_n > count_{max}$ จึงยุติการค้นหา

ขั้นตอนที่ 4 ทำการประเมินค่าจักระทั้งอัลกอริทึมแบบตานุไม่สามารถหาคำตอบใหม่ (S_{new}) ที่ดีกว่าคำตอบเริ่มต้น (S_0) ในรอบการค้นหาปัจจุบัน นั่นคือ คำตอบดังกล่าวอาจจะไม่หลุดออกจากคำตอบที่เป็นวงแหวนเดียว ดังนั้น จึงเข้าสู่ขั้นตอนการเดินย้อนรอย ที่มีเงื่อนไขการอนุญาตให้กลับไปค้นหาในพื้นที่คำตอบเก่า ซึ่งผลจากการวนการดังกล่าวจะทำให้เกิดพื้นที่การค้นหาใหม่ ซึ่งมีโอกาสที่จะหลุดออกจากคำตอบที่เป็นแบบวงแหวนเดียว ได้

ขั้นตอนที่ 5 การปรับรัศมีการค้นหา ดังสมการที่ (6-1) จะทำการลดรัศมีในระหว่างการค้นหางrajทั้งเข้าใกล้คำตอบที่ดีที่สุด ซึ่งทำให้คำตอบจากการค้นหามีความละเอียดมากขึ้น แต่ในทางตรงกันข้าม หากการปรับลดรัศมีการค้นหามีขนาดเล็กเกินไป การค้นหาอาจไม่ครอบคลุมคำตอบที่ต้องการ ดังนั้น การปรับรัศมีให้เหมาะสมกับระบบที่พิจารณาจึงมีความสำคัญ กระบวนการทั้งหมดสำหรับการค้นหาคำตอบที่เหมาะสมที่สุดด้วยวิธี ATS ได้อธิบายเป็นแผนภาพไว้ดังรูปที่ 6.3

$$Radius_{new}(R_n) = \frac{Radius_{old}}{DF} \quad (6-1)$$

โดยที่ DF คือ ตัวประกอบการลดของรัศมี (Decreasing Factor)



รูปที่ 6.3 การค้นหาแบบตานุชนิดปรับตัวได้

6.3 การกำหนดขอบเขตการค้นหาของวิธีการค้นหาแบบตามชิงปรับตัว

การกำหนดขอบเขตการค้นหาค่าพารามิเตอร์ K_{PC} และ K_{IC} บนแกนดีคิวตัวยิวี ATS มีความสำคัญอย่างยิ่ง เนื่องจากการค้นหาในช่วงที่ไม่สามารถใช้งานได้จริงจะไม่เกิดประโยชน์ต่องานภาคปฏิบัติ ผู้จัดขึ้นได้คำนึงถึงความเป็นไปได้ในการนำมาใช้งานร่วมกับบอร์ด field programmable gate arrays (บอร์ด FPGAs) โดยพิจารณาจากสมรรถนะของ FPGA module, APEX DSP Development Board (starter Version) of Altera Co., Ltd The Quartus II Limited Edition 40 kHz 16 bit ประกอบการกำหนดขอบเขตเพื่อค้นหาค่าพารามิเตอร์

การกำหนดขอบเขตเริ่มต้นพิจารณาสมการที่ใช้ออกแบบพารามิเตอร์ของตัวควบคุมแบบพีไอโดยอาศัยแบบจำลองทางคณิตศาสตร์ ตามสมการที่ (5-26) และสมการที่ (5-27) ในบทที่ 5 เพื่อหาอัตราส่วนความสัมพันธ์ระหว่าง K_{PC} และ K_{IC} ดังสมการที่ (6-2)

$$\frac{K_{IC}}{K_{PC}} = \frac{\omega_{ni}}{2\xi} \quad (6-2)$$

จากอัตราส่วนความสัมพันธ์ดังกล่าว สามารถหาขอบเขตสูงสุดของค่าพารามิเตอร์ K_{PC} และ K_{IC} ดังสมการที่ (6-3) และสมการที่ (6-4) ตามลำดับ โดยที่ T คือ ช่วงเวลาการซักตัวอย่างของบอร์ด (sampling time) จากนั้นแทนค่าความถี่ธรรมชาติ (ω_{ni}) และค่าอัตราส่วนการเข้าสู่สถานะคงตัว (ডิ) ลงในสมการที่ (6-3) และสมการที่ (6-4) ซึ่งค่าดังกล่าวถูกกำหนดไว้ในบทที่ 5 ดังนั้น ขอบเขตค่าพารามิเตอร์ของ K_{PC} และ K_{IC} แสดงได้ดังสมการที่ (6-5) และสมการที่ (6-6) ตามลำดับ ขอบเขตดังกล่าวจะถูกนำมาใช้เป็นพื้นที่ค้นหาคำตอบสำหรับการออกแบบตัวควบคุมแบบพีไอด้วยวิธี ATS ต่อไป

$$K_{PC} + \left(\frac{\omega_{ni}}{2\xi} K_{PC} \right) T = 65535 \quad (6-3)$$

$$\left(\frac{2\xi}{\omega_{ni}} K_{IC} \right) + K_{IC} T = 65535 \quad (6-4)$$

$$K_{PC} + \frac{2\pi \times 2500}{2(\sqrt{2}/2)} K_{PC} (25 \times 10^{-6}) = 65535 \quad ; K_{PC} \in [0, 51.30 \times 10^3] \quad (6-5)$$

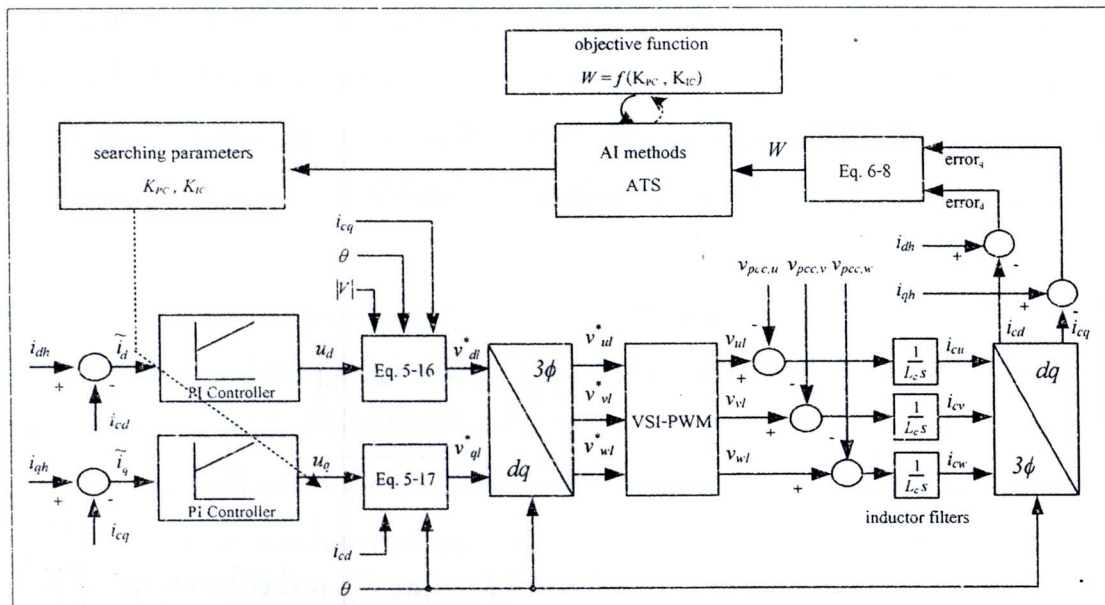
$$\frac{2(\sqrt{2}/2)}{2\pi \times 2500} K_{IC} + K_{IC}(25 \times 10^{-6}) = 65535 \quad ; \quad K_{IC} \in [0, 569.72 \times 10^6] \quad (6-6)$$

การออกแบบพารามิเตอร์ของตัวควบคุมแบบพีไอดี้วีซี ATS ภายในขอบเขตการค้นหาที่กำหนดในข้างต้น ผู้วิจัยได้กำหนดเป้าหมายการประเมินค่าอยู่ด้วยกัน 2 แนวทาง ก่อรากถือ แนวทางแรก ประเมินจากผลต่างระหว่างค่ากระแสน้ำเดย์กับค่ากระแสน้ำอ้างอิง ด้วยกรณีการค้นหาแบบ 2 พารามิเตอร์ และแนวทางที่สอง ประเมินจากผลต่างระหว่างค่ากระแสน้ำเดย์กับค่ากระแสน้ำอ้างอิง ด้วยกรณีการค้นหาแบบ 4 พารามิเตอร์ ซึ่งจะนำเสนอในหัวข้อที่ 6.4 และหัวข้อที่ 6.5 ตามลำดับ

6.4 การค้นหาแบบ 2 พารามิเตอร์ของตัวควบคุมพีไอ

การปรับปรุงสมรรถนะตัวควบคุมแบบพีไอ โดยใช้วิธีทางปัญญาประดิษฐ์ที่เรียกว่า วิธีการค้นหาแบบตามเชิงปรับตัว หรือ วิธี ATS ดังที่ได้อธิบายหลักการทำงานตามหัวข้อที่ 6.2 หัวข้อนี้จะดำเนินการค้นหาค่าพารามิเตอร์ของตัวควบคุมแบบพีไอ 2 ค่า ได้แก่ ค่า K_{PC} และค่า K_{IC} บนแกนดิจิว โดยมีกระบวนการปรับปรุงสมรรถนะตัวควบคุมแบบพีไอ เพื่อควบคุมการฉีดกระแสชาดเชยของวงจรกรองกำลังแรกที่ฟ์แบบขนาดด้วยวิธี ATS ที่พิจารณาได้จากรูปที่ 6.4

6.4.1 การออกแบบค่าพารามิเตอร์ของตัวควบคุมพีไอด้วยวิธีการค้นหาแบบตานุเชิงปรับตัว



รูปที่ 6.4 แผนภาพโดยรวมการออกแบบตัวควบคุมแบบพีไอด้วยวิธี ATS

กระบวนการปรับปรุงสมรรถนะตัวควบคุมแบบพีไอ ดังรูปที่ 6.4 เริ่มต้นจากการนำค่ากระแสอ้างอิง (i_{dh}, i_{qh}) หักลบกับค่ากระแสเดชเชย (i_{cd}, i_{cq}) เป็นผลต่างของค่ากระแสทั้งสองบนแกนเดียว (\tilde{i}_d, \tilde{i}_q) สำหรับใช้เป็นอินพุตป้อนให้กับตัวควบคุมแบบพีไอ โดยค่าเอาต์พุตที่ออกจากตัวควบคุมดังกล่าว (u_d, u_q) จะนำมาแทนในสมการที่ (5-16) และสมการที่ (5-17) เพื่อคำนวณค่าแรงดันเอาต์พุตอ้างอิงของอินเวอร์เตอร์บนแกนเดียว ($v_{ul}^*, v_{vl}^*, v_{wl}^*$) หลังจากนั้นแบ่งค่าดังกล่าวให้อผุนปริมาณไฟฟ้าสามเฟส (v_u^*, v_v^*, v_w^*) เพื่อผ่านชุดคันล็อกอินเวอร์เตอร์เหล่านี้จ่ายแรงดันที่ควบคุมการสวิตช์ด้วยเทคนิคพีดับเบิลยูเอ็ม จนกระทั่งได้เป็นแรงดันเอาต์พุตที่ออกจากอินเวอร์เตอร์ (v_{ul}, v_{vl}, v_{wl}) ผ่านตัวเหนี่ยวนำ (L_c) ออกเป็นค่ากระแสเดชเชย ดังสมการที่ (6-7) ซึ่งค่าผลต่างระหว่างกระแสอ้างอิงกับกระแสเดชเชยจะถูกใช้เป็นค่าอินพุตของฟังก์ชันวัดคุณภาพสูงของ การคืนหาค่าพารามิเตอร์ K_{PC} และ K_{IC} สำหรับตัวควบคุมแบบพีไอ

$$\frac{di_{ck}}{dt} = \frac{v_{kl} - v_{pcc,k}}{L_c} \quad (6-7)$$

โดยที่ v_{kl} คือ แรงดันเอาต์พุตของวงจรอินเวอร์เตอร์ (V); $k = \text{ไฟฟ้า } u, v, w$
 $v_{pcc,k}$ คือ แรงดันไฟฟ้าที่จุด PCC (V); $k = \text{ไฟฟ้า } u, v, w$

สำหรับในแนวทางแรก ผู้วิจัยมีความมุ่งหวังที่จะสามารถควบคุมกระแสเดชเชย ให้ใกล้เคียงกับกระแสอ้างอิงมากที่สุด โดยประเมินผ่านฟังก์ชันวัดคุณภาพสูงคือค่า W_{err} ดังสมการที่ (6-8) คำนวณได้จากการหาค่าเฉลี่ยจากผลรวมค่าผลต่างระหว่าง i_{dh} กับ i_{cd} (error_d) และผลต่างระหว่าง i_{qh} กับ i_{cq} (error_q) กำลังสองเฉลี่ยหารด้วยจำนวนชุดข้อมูลทั้งหมด (N) ดังนั้น ในกรณีที่กระแสเดชเชยมีค่าใกล้เคียงกับกระแสอ้างอิง แนวโน้มของค่า W จะลดลง และส่งผลให้ค่า %THD ของกระแสที่เหลืออยู่กำลังไฟฟ้าหลักเฉลี่ยลดลงด้วยเช่นกัน

$$W_{err} = \sqrt{\frac{2}{N} \left(\left(\sum_{i=1}^N |i_{dh}(i) - i_{cd}(i)| \right)^2 + \left(\sum_{i=1}^N |i_{qh}(i) - i_{cq}(i)| \right)^2 \right)} \quad (6-8)$$

การจำลองสถานการณ์เพื่อให้ K_{PC} และ K_{IC} ถูกใช้เป็นพารามิเตอร์ในฟังก์ชันวัดคุณภาพสูงของการคืนหา อธิบายด้วยการประมาณค่าอนุพันธ์แบบข้อนกลับ (backward

difference approximation) เพื่อเป็นการเทียบเคียงระบบบนโปรแกรม simulink ลงในโปรแกรม m-file เนื่องจากการจำลองสถานการณ์ในโปรแกรม m-file สามารถประมวลผลการคำนวณค่าพารามิเตอร์ที่เหมาะสมได้รวดเร็วกว่าการจำลองสถานการณ์บนโปรแกรม simulink โดยเริ่มต้นจากการรับค่าความผิดพลาดของค่ากระแสอ้างอิงกับค่ากระแสเดย์บันแกนดีคิว เป็นลำดับข้อมูล ($\tilde{i}_d(n)$, $\tilde{i}_q(n)$) และใช้ค่าความผิดพลาดดังกล่าวเป็นอินพุตให้แก่ตัวควบคุมแบบพีไอเพื่ocomputation แรงดันอ้างอิง ($u_d(n)$, $u_q(n)$) จากนั้นลอก PI Controller ในรูปที่ 6.4 คำนวณการวิเคราะห์ด้วยระเบียบเชิงตัวเลข เริ่มต้นจากสมการที่ (6-9) โดยใช้การประมาณแบบ Tustin ดังสมการที่ (6-10) และแทนค่าดังกล่าวลงในสมการที่ (6-9) จะได้ดังสมการที่ (6-11) จากสมการดังกล่าวคำนวณการแปลงซีผกผัน (inverse Z transform) เพื่อแปลงเป็นโอดเมนเวลาดังสมการที่ (6-12) และสมการที่ (6-13) ตามลำดับ

$$\frac{U_d(s)}{\tilde{I}_d(s)} = \frac{U_q(s)}{\tilde{I}_q(s)} = \frac{(K_{PC}s + K_{IC})}{s} \quad (6-9)$$

$$s = \frac{2}{T} \left(\frac{z-1}{z+1} \right) \quad (6-10)$$

$$\frac{U_d(z)}{\tilde{I}_d(z)} = \frac{U_q(z)}{\tilde{I}_q(z)} = K_{PC} + \frac{K_{IC}T}{2} \left(\frac{z}{z-1} + \frac{1}{z-1} \right) \quad (6-11)$$

$$z^{-1} \left[\frac{U_d(z)}{\tilde{I}_d(z)} \right] = z^{-1} \left[\frac{U_q(z)}{\tilde{I}_q(z)} \right] = K_{PC} + \frac{K_{IC}T}{2} \left(z^{-1} \left[\frac{z}{z-1} \right] + z^{-1} \left[\frac{1}{z-1} \right] \right) \quad (6-12)$$

$$\frac{u_d(n)}{\tilde{i}_d(n)} = \frac{u_q(n)}{\tilde{i}_q(n)} = K_{PC} + \frac{K_{IC}T}{2} \left((1^n) \cdot u(n) + (1^{n-1}) \cdot u(n-1) \right) \quad (6-13)$$

จากสมการที่ (6-13) สามารถหาค่าเออเต็ปสุดท้ายจากตัวควบคุมแบบพีไอบนแกนดีคิว ในลักษณะลำดับข้อมูล (array) ดังสมการที่ (6-14) และสมการที่ (6-15) เพื่อเป็นค่าอินพุตให้กับการคำนวณแรงดันเออเต็ปอ้างอิงของอินเวอร์เตอร์บนแกนดีคิว ($v_{ul}^*(n)$, $v_{ql}^*(n)$) ดังสมการที่ (6-16) และสมการที่ (6-17) จากนั้นแปลงค่าดังกล่าวให้อยู่บนปริมาณสามเฟสเพื่อปรับเปลี่ยนกับสัญญาณพาหะรูปสามเหลี่ยมเป็นสัญญาณพัลส์ควบคุมสวิตช์ไอจีบีทีของวงจรอินเวอร์เตอร์ ชนกระแทก ได้เป็นแรงดันเออเต็ปของอินเวอร์เตอร์ทั้งสามเฟส ($v_{ul}(n)$, $v_{ql}(n)$, $v_{wl}(n)$) และทำการประมาณค่ากระแสเดย์บันแกนดีคิวตามสมการที่ (6-18)

$$u_d(n) = K_{PC} \tilde{i}_d(n) + \frac{K_{IC} \tilde{i}_d(n)T}{2} \left((1^n) \cdot u(n) + (1^{n-1}) \cdot u(n-1) \right) \quad (6-14)$$

$$u_q(n) = K_{PC} \tilde{i}_q(n) + \frac{K_{IC} \tilde{i}_q(n)T}{2} \left((1^n) \cdot u(n) + (1^{n-1}) \cdot u(n-1) \right) \quad (6-15)$$

$$v_{di}^*(n) = -\omega(n) \cdot L_c \cdot i_{eq}(n-1) + u_d(n) + \sqrt{\frac{2}{3}} \cdot \frac{3}{2} \cdot v_m \quad (6-16)$$

$$v_{qj}^*(n) = \omega(n) L_c i_{cd}(n-1) + u_q(n) \quad (6-17)$$

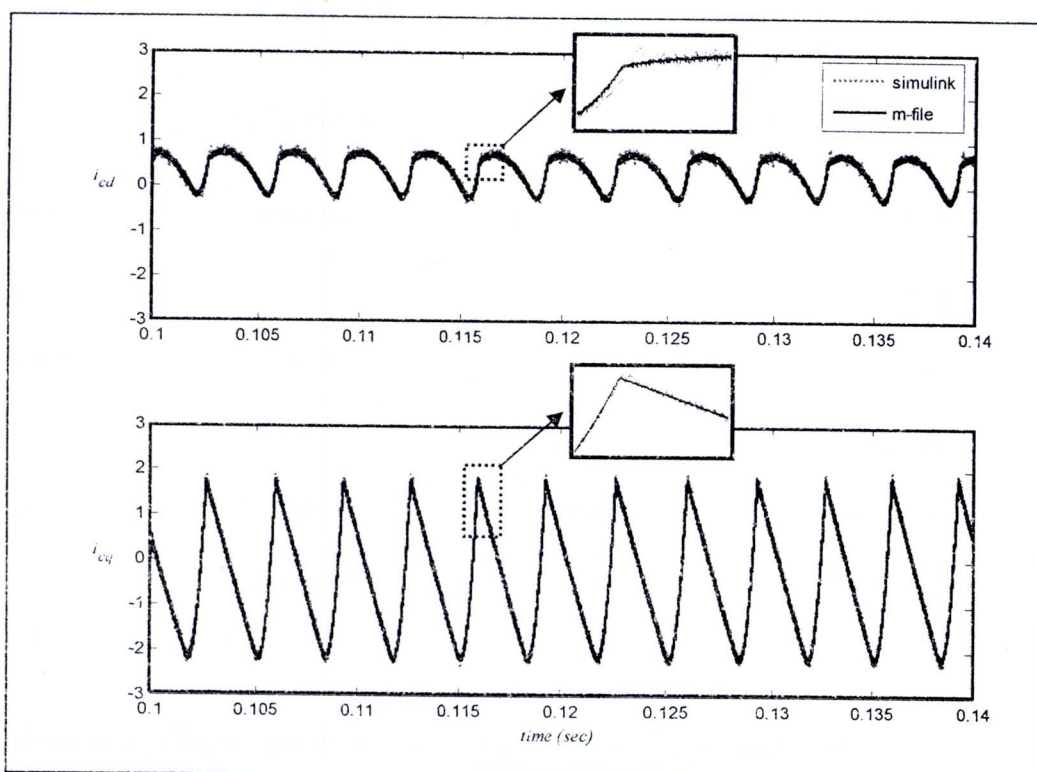
$$\frac{di_{ck}}{dt} \approx \frac{\Delta i_{ck}}{T} = \frac{i_{ck}(n) - i_{ck}(n-1)}{T} = \frac{v_{kl}(n) - v_{pcc,k}(n)}{L_c} \quad (6-18)$$

จากสมการที่ (6-18) สามารถคำนวณค่ากระแสแซดเชยได้จากสมการที่ (6-19) และแปลงปริมาณให้อยู่บนแกนคิวิ เพื่อนำไปเปรียบเทียบกับค่ากระแสอ้างอิงบนแกนคิวิ ในการคำนวณค่า W_{err} เพื่อใช้ประเมินผ่านการคืนหาด้วยวิธี ATS เช่นนี้เรียบๆ จะได้คำ腔ตอบเหมาะที่สุด แบบวงกว้างของพารามิเตอร์ K_{PC} และ K_{IC}

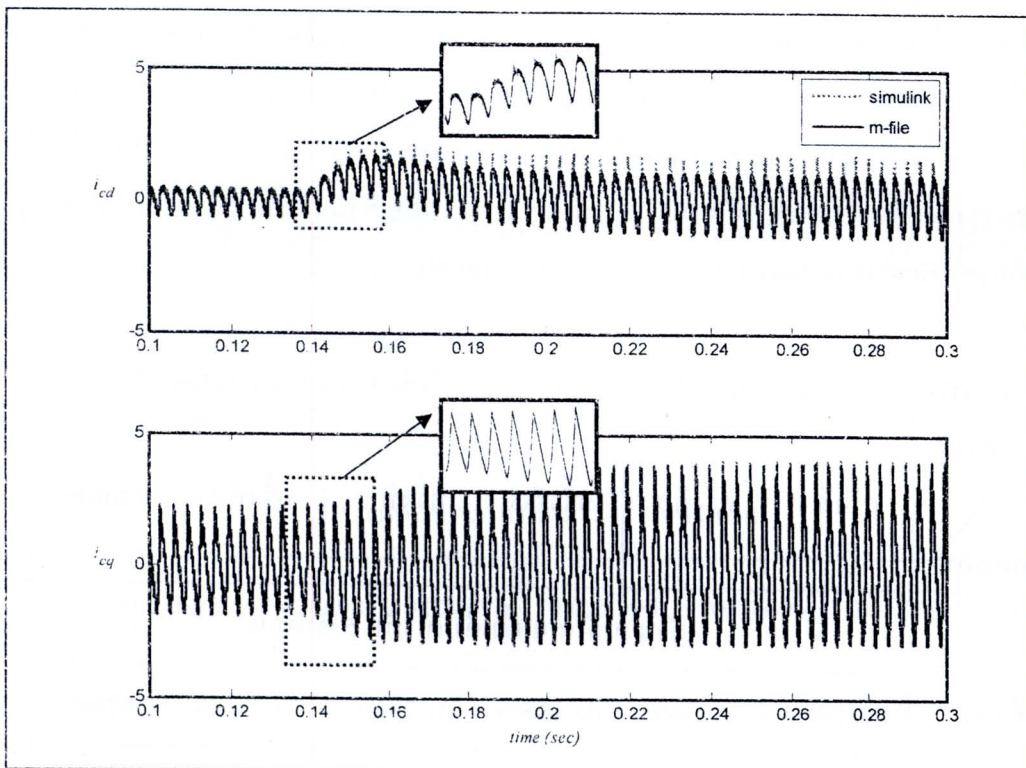
$$i_{ck}(n) = \left(\frac{v_{kl}(n) - v_{pcc,k}(n)}{L_c} \right) \times T + i_{ck}(n-1) \quad (6-19)$$

โดยที่ T คือ ช่วงเวลาการซักตัวอย่าง

การจำลองสถานการณ์บนโปรแกรม m-file สำหรับคืนหาค่าพารามิเตอร์ K_{PC} และ K_{IC} ด้วยวิธี ATS แทนการจำลองสถานการณ์บนโปรแกรม simulink จะเกิดความน่าเชื่อถือได้ นั้นต้องมีการตรวจสอบ และยืนยันความถูกต้อง โดยการเปรียบเทียบค่าการคำนวณกระแสแซดเชยบนแกนคิวิของโปรแกรมทั้งสอง ซึ่งจากรูปที่ 6.5 สังเกตได้ว่า ค่ากระแสแซดเชยมีความใกล้เคียงกันในสภาวะคงตัว และเมื่อค่ากระแสเด้งกล้ามการเปลี่ยนแปลง อันเนื่องมาจากการเปลี่ยนแปลงค่าโหลดของวงจรเรียงกระแสในช่วงเวลาตั้งแต่ 0.14 วินาที เป็นต้นไป การคำนวณด้วยโปรแกรมทั้งสองยังคงให้ค่ากระแสแซดเชยที่ใกล้เคียงเข่นกัน ดังรูปที่ 6.6 จากผลดังกล่าว พนว่า เมื่อทำการเปรียบเทียบค่า W_{err} ที่ได้จากโปรแกรม m - file กับค่า %THD ที่ได้จากโปรแกรม simulink จะมีแนวโน้มเดียวกัน ดังตารางที่ 6.1 โดยเมื่อค่า W_{err} ลดลงจะส่งผลให้ค่า %THD ลดลงด้วยเช่นกัน



รูปที่ 6.5 เปรียบเทียบค่ากระแสด้วย m - file เทียบกับ simulink



รูปที่ 6.6 เปรียบเทียบผลการเปลี่ยนแปลงค่ากระแสด้วย m - file เทียบกับ simulink

ตารางที่ 6.1 ผลการเปรียบเทียบระบบ nn m – file กับ simulink กรณีค้นหาแบบ 2 พารามิเตอร์

ค่าพารามิเตอร์		m-file (W_{err})	Simulink (%THD)
K_{PC}	K_{IC}		
40.43×10^3	66.86×10^6	0.028698	1.6901
42.55×10^3	69.05×10^6	0.028697	1.6826
48.25×10^3	80.46×10^6	0.028696	1.6790
43.24×10^3	71.58×10^6	0.028695	1.6647
48.00×10^3	81.84×10^6	0.028694	1.6535
48.54×10^3	80.18×10^6	0.028691	1.6480

6.4.2 การทดสอบพารามิเตอร์ของวิธีการค้นหาแบบตามเชิงปรับตัว และผลการค้นหาค่าพารามิเตอร์ของตัวควบคุมคุณภาพพื้นที่

องค์ประกอบที่สำคัญในโครงสร้างการค้นหาด้วยวิธี ATS ประกอบด้วย จำนวนคำตอบเริ่มต้น (S_N) จำนวนคำตอบรอบข้าง ($S_{neighbor}$) ค่ารสมีเริ่มต้น (R) และค่าตัวปรับลดครั้งมี (DF) เนื่องจากค่าพารามิเตอร์ที่เหมาะสมกับการค้นหาในระบบจะส่งผลต่อสมรรถนะการค้นหาด้วยวิธี ATS ผู้วิจัยจึงทำการทดสอบพารามิเตอร์ดังกล่าว ดังตารางที่ 6.2 ถึงตารางที่ 6.5 โดยที่การซึ่งวัดสมรรถนะการค้นหาจะให้ความสำคัญกับค่า W_{err} เนื่องจาก จำนวนรอบการค้นหาเฉลี่ย (N) และค่าเบี่ยงเบนมาตรฐาน (Standard Deviation: SD) ตามลำดับ

ตารางที่ 6.2 ผลการทดสอบจำนวนคำตอบเริ่มต้น กรณีค้นหาแบบ 2 พารามิเตอร์

ครั้งที่ ทดสอบ	ครั้งที่ 1	ครั้งที่ 2	ครั้งที่ 3	ครั้งที่ 4	ครั้งที่ 5	ค่าเฉลี่ย	SD
จำนวนคำตอบเริ่มต้นเท่ากับ 5 คำตอบ							
ค่า W_{err}	0.028698	0.028698	0.028699	0.028699	0.028698	0.028698	0.55×10^{-6}
รอบ	10	9	10	9	10	9.6	0.55

ตารางที่ 6.2 ผลการทดสอบจำนวนคำตอบเริ่มต้น กรณีคันหาแบบ 2 พารามิเตอร์ (ต่อ)

ครั้งที่ ทดสอบ	ครั้งที่ 1	ครั้งที่ 2	ครั้งที่ 3	ครั้งที่ 4	ครั้งที่ 5	ค่าเฉลี่ย	SD
จำนวนคำตอบเริ่มต้นเท่ากับ 10 คำตอบ							
ค่า W_{err}	0.028698	0.028698	0.028700	0.028696	0.028695	0.028697	1.95×10^{-6}
รวม	9	12	15	1	2	7.8	6.14
จำนวนคำตอบเริ่มต้นเท่ากับ 15 คำตอบ							
ค่า W_{err}	0.028699	0.028700	0.028699	0.028699	0.028699	0.028699	0.45×10^{-6}
รวม	14	9	7	8	6	8.8	3.11
จำนวนคำตอบเริ่มต้นเท่ากับ 20 คำตอบ							
ค่า W_{err}	0.028698	0.028696	0.028699	0.028697	0.028699	0.028698	1.30×10^{-6}
รวม	1	19	27	4	4	11	11.38
จำนวนคำตอบเริ่มต้นเท่ากับ 25 คำตอบ							
ค่า W_{err}	0.02870	0.028698	0.028695	0.028694	0.028698	0.028697	2.45×10^{-6}
รวม	4	9	7	11	7	7.6	2.61
จำนวนคำตอบเริ่มต้นเท่ากับ 30 คำตอบ							
ค่า W_{err}	0.028697	0.028698	0.028698	0.028700	0.028696	0.028698	1.48×10^{-6}
รวม	1	3	8	7	11	6	4.00

หมายเหตุ: จำนวนคำตอบรวมข้างเท่ากับ 5 คำตอบ, ค่ารัศมีเริ่มต้นเท่ากับ 0.5,

ค่าปรับลดรัศมีเท่ากับ 1.1

. ตารางที่ 6.3 ผลการทดสอบจำนวนคำตอบรอบข้าง กรณีคืนหาแบบ 2 พารามิเตอร์

ครั้งที่ ทดสอบ	ครั้งที่ 1	ครั้งที่ 2	ครั้งที่ 3	ครั้งที่ 4	ครั้งที่ 5	ค่าเฉลี่ย	SD
จำนวนคำตอบรอบข้างเท่ากับ 5 คำตอบ							
ค่า W_{err}	0.02870	0.028698	0.028695	0.028694	0.028698	0.028697	2.45×10^{-6}
รอบ	4	9	7	11	7	7.6	2.61
จำนวนคำตอบรอบข้างเท่ากับ 10 คำตอบ							
ค่า W_{err}	0.028698	0.028695	0.028694	0.028696	0.028696	0.028696	1.48×10^{-6}
รอบ	5	7	4	6	3	5	1.58
จำนวนคำตอบรอบข้างเท่ากับ 15 คำตอบ							
ค่า W_{err}	0.028700	0.028697	0.028695	0.028696	0.028699	0.028697	2.07×10^{-6}
รอบ	2	5	3	3	10	4.6	3.21
จำนวนคำตอบรอบข้างเท่ากับ 20 คำตอบ							
ค่า W_{err}	0.028699	0.028696	0.028698	0.028696	0.028698	0.028697	1.34×10^{-6}
รอบ	4	4	2	4	2	3.2	1.10
จำนวนคำตอบรอบข้างเท่ากับ 25 คำตอบ							
ค่า W_{err}	0.028699	0.028697	0.028697	0.028698	0.028696	0.028697	1.14×10^{-6}
รอบ	1	5	3	1	6	3.2	2.28
จำนวนคำตอบรอบข้างเท่ากับ 30 คำตอบ							
ค่า W_{err}	0.028698	0.028698	0.028696	0.028699	0.028697	0.028698	1.14×10^{-6}
รอบ	3	4	3	1	1	2.4	1.34

หมายเหตุ: จำนวนคำตอบเริ่มต้นเท่ากับ 25 คำตอบ, ค่ารัศมีเริ่มต้นเท่ากับ 0.5,

ค่าปรับลดรัศมีเท่ากับ 1.1



ตารางที่ 6.4 ผลการทดสอบค่ารัศมีเริ่มต้น กรณีคืนหายแบบ 2 พารามิเตอร์

ครั้งที่ ทดสอบ	ครั้งที่ 1	ครั้งที่ 2	ครั้งที่ 3	ครั้งที่ 4	ครั้งที่ 5	ค่าเฉลี่ย	SD
ค่ารัศมีเริ่มต้นเท่ากับ 0.25							
ค่า W_{err}	0.028699	0.028699	0.028700	0.028697	0.028697	0.028698	1.34×10^{-6}
รวม	2	3	5	7	5	4.4	1.95
ค่ารัศมีเริ่มต้นเท่ากับ 0.5							
ค่า W_{err}	0.028698	0.028695	0.028694	0.028696	0.028696	0.028696	1.48×10^{-6}
รวม	5	7	4	6	3	5	1.58
ค่ารัศมีเริ่มต้นเท่ากับ 1							
ค่า W_{err}	0.028694	0.028697	0.028698	0.028697	0.028698	0.028697	1.64×10^{-6}
รวม	1	1	1	5	9	3.4	3.58
ค่ารัศมีเริ่มต้นเท่ากับ 2							
ค่า W_{err}	0.028699	0.028698	0.028697	0.028696	0.028697	0.028697	1.14×10^{-6}
รวม	4	9	17	1	2	6.6	6.58
ค่ารัศมีเริ่มต้นเท่ากับ 3							
ค่า W_{err}	0.028698	0.028697	0.028696	0.028699	0.028698	0.028698	1.14×10^{-6}
รวม	2	11	1	10	14	7.6	5.77
ค่ารัศมีเริ่มต้นเท่ากับ 4							
ค่า W_{err}	0.028700	0.028698	0.028699	0.028696	0.028695	0.028698	2.07×10^{-6}
รวม	5	14	3	12	2	7.2	5.45

หมายเหตุ: จำนวนคำตอบเริ่มต้นเท่ากับ 25 คำตอบ, จำนวนคำตอบรับข้างเท่ากับ 10 คำตอบ,

ค่าปรับลดรัศมีเท่ากับ 1.1

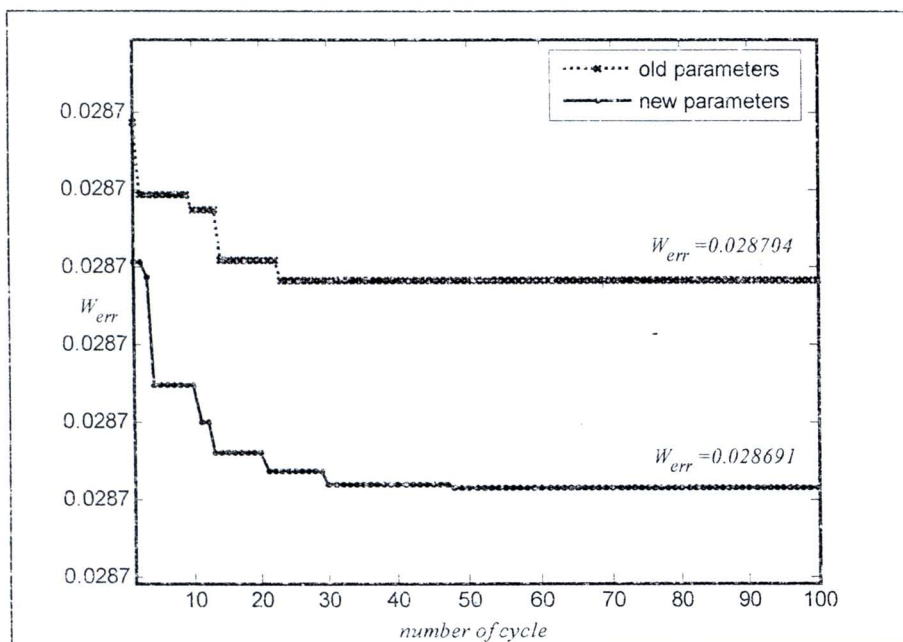
ตารางที่ 6.5 ผลการทดสอบค่าปรับลดรัศมี กรณีคืนหาแบบ 2 พารามิเตอร์

ครั้งที่ ทดสอบ	ครั้งที่ 1	ครั้งที่ 2	ครั้งที่ 3	ครั้งที่ 4	ครั้งที่ 5	ค่าเฉลี่ย	SD
ค่าปรับลดรัศมีเท่ากับ 1.05							
ค่า W_{err}	0.028699	0.028697	0.028700	0.028699	0.028699	0.028699	1.09×10^{-6}
รอบ	7	14	8	8	13	10	3.24
ค่าปรับลดรัศมีเท่ากับ 1.1							
ค่า W_{err}	0.028698	0.028695	0.028694	0.028696	0.028696	0.028696	1.48×10^{-6}
รอบ	5	7	4	6	3	5	1.58
ค่าปรับลดรัศมีเท่ากับ 1.2							
ค่า W_{err}	0.028696	0.028696	0.028696	0.028699	0.028697	0.028697	1.30×10^{-6}
รอบ	5	3	6	5	1	4	2.00
ค่าปรับลดรัศมีเท่ากับ 1.3							
ค่า W_{err}	0.028696	0.028698	0.028698	0.028700	0.028697	0.028698	1.48×10^{-6}
รอบ	1	4	2	4	4	3	1.41
ค่าปรับลดรัศมีเท่ากับ 1.4							
ค่า W_{err}	0.028700	0.028698	0.028697	0.028696	0.028698	0.028698	1.48×10^{-6}
รอบ	8	5	3	1	4	4.2	2.59
ค่าปรับลดรัศมีเท่ากับ 1.5							
ค่า W_{err}	0.028697	0.028699	0.028700	0.028698	0.028700	0.028699	1.30×10^{-6}
รอบ	1	2	2	11	4	4	4.06

หมายเหตุ: จำนวนคำตอบเริ่มต้นเท่ากับ 25 คำตอบ, จำนวนคำตอบรอบข้างเท่ากับ 10 คำตอบ,

ค่ารัศมีเริ่มต้นเท่ากับ 0.5

จากตารางที่ 6.2 ถึงตารางที่ 6.5 การเลือกค่าพารามิเตอร์การค้นหาวิชี ATS ใช้เกณฑ์พิจารณาจากค่า W_{err} เป็นประเด็นสำคัญ จำนวนรอบการค้นหา และค่าเบี้ยงเบนมาตรฐานเป็นประเด็นรองลงมา เริ่มต้นกำหนดให้ จำนวนคำตอนเริ่มต้น เท่ากับ 5 คำตอน จำนวนคำตอนรอบข้าง เท่ากับ 5 คำตอน ค่ารัศมีเริ่มต้น เท่ากับ 0.5 และค่าปรับลดรัศมี เท่ากับ 1.1 หลังจากนั้นดำเนินการทดสอบพารามิเตอร์ของ ATS ในแต่ละตัว เริ่มจากจำนวนคำตอนเริ่มต้น เท่ากับ 5, 10, 15, 20, 25 และ 30 คำตอน โดยที่ค่าพารามิเตอร์ตัวอื่น ๆ คงที่ จากตารางที่ 6.2 พบว่า จำนวนคำตอนเริ่มต้น เท่ากับ 10 คำตอน และ 25 คำตอน ให้ค่า W_{err} เคลื่อน้อยที่สุด เท่ากับ 0.028697 แต่ที่จำนวนคำตอนเริ่มต้น เท่ากับ 25 คำตอน มีจำนวนรอบการค้นหาเฉลี่ยที่น้อยกว่า จึงเลือกใช้สำหรับการทดสอบพารามิเตอร์ตัวถัดไป ตารางที่ 6.3 แสดงผลการทดสอบจำนวนคำตอนรอบข้าง เท่ากับ 10, 15, 20, 25, 30 และ 35 คำตอน โดยที่จำนวนคำตอนเริ่มต้น เท่ากับ 25 คำตอน ค่ารัศมีเริ่มต้น เท่ากับ 0.5 และค่าปรับลดรัศมี เท่ากับ 1.1 ผลปรากฏว่า จำนวนรอบการค้นหาไม่มีนัยสำคัญ ที่จำนวนคำตอนรอบข้าง เท่ากับ 10 คำตอน ให้ค่า W_{err} เคลื่อน้อยที่สุด เท่ากับ 0.028696 จึงนำมาใช้สำหรับทดสอบกับพารามิเตอร์ตัวถัดไป ตารางที่ 6.4 ทดสอบค่ารัศมีเริ่มต้น เท่ากับ 0.5, 1, 2, 3, 4 และ 5 โดยที่จำนวนคำตอนเริ่มต้น เท่ากับ 25 คำตอน จำนวนคำตอนรอบข้าง เท่ากับ 10 คำตอน และค่าปรับลดรัศมี เท่ากับ 1.1 พบว่า จำนวนรอบการค้นหาไม่มีนัยสำคัญ ที่ค่ารัศมีเริ่มต้น เท่ากับ 0.5 ให้ค่า W_{err} เคลื่อน้อยที่สุด เท่ากับ 0.028696 และตารางที่ 6.5 เมื่อพิจารณาที่จำนวนรอบจะสั้นเกตเอดีว่า ไม่มีนัยสำคัญ ดังนั้นจึงพิจารณาค่า W_{err} เคลื่อน ให้กับ 0.028696 ที่ค่าปรับลดรัศมี เท่ากับ 1.1 จะให้ค่าน้อยที่สุด



รูปที่ 6.7 การลู่เข้าของค่า W กรณีค้นหาแบบ 2 พารามิเตอร์

จากการทดสอบทั้งหมดกำหนดให้พารามิเตอร์ของการคืนหายชีวิต ATS มีจำนวนคำตอบเริ่มต้นเท่ากับ 25 คำตอบ จำนวนคำตอบรับข้าม เท่ากับ 10 คำตอบ ค่ารัศมีเริ่มต้นเท่ากับ 0.5 และค่าปรับลดรัศมีเท่ากับ 1.1 ซึ่งค่าพารามิเตอร์ใหม่ (new parameters) ที่ได้จากการทดสอบนี้ให้ผลการถูกเข้าของค่า W_{err} เท่ากับ 0.02691 ดีกว่าค่าพารามิเตอร์เดิม (old parameters) ที่ให้ผลการถูกเข้าของค่า W_{err} เท่ากับ 0.02704 มีผลการเปรียบเทียบแสดงได้ดังรูปที่ 6.7 และค่าพารามิเตอร์ของตัวควบคุมแบบพีไอที่ได้จากการคืนหายชีวิต ATS แสดงไว้ดังตารางที่ 6.6

ตารางที่ 6.6 ผลการคืนหายค่าพารามิเตอร์ของตัวควบคุมแบบพีไอ กรณีคืนหายแบบ 2 พารามิเตอร์

ค่าพารามิเตอร์	ชนิดของตัวควบคุมกระแสเดียว		
	PI+MATH	PI+ATS (old parameter)	PI+ATS (new parameter)
$K_{PC,d}$	0.87×10^3	24.97×10^3	48.54×10^3
$K_{IC,d}$	9.62×10^6	70.84×10^6	80.18×10^6
$K_{PC,q}$	0.87×10^3	24.97×10^3	48.54×10^3
$K_{IC,q}$	9.62×10^6	70.84×10^6	80.18×10^6
W_{err}	0.029070	0.028704	0.028691

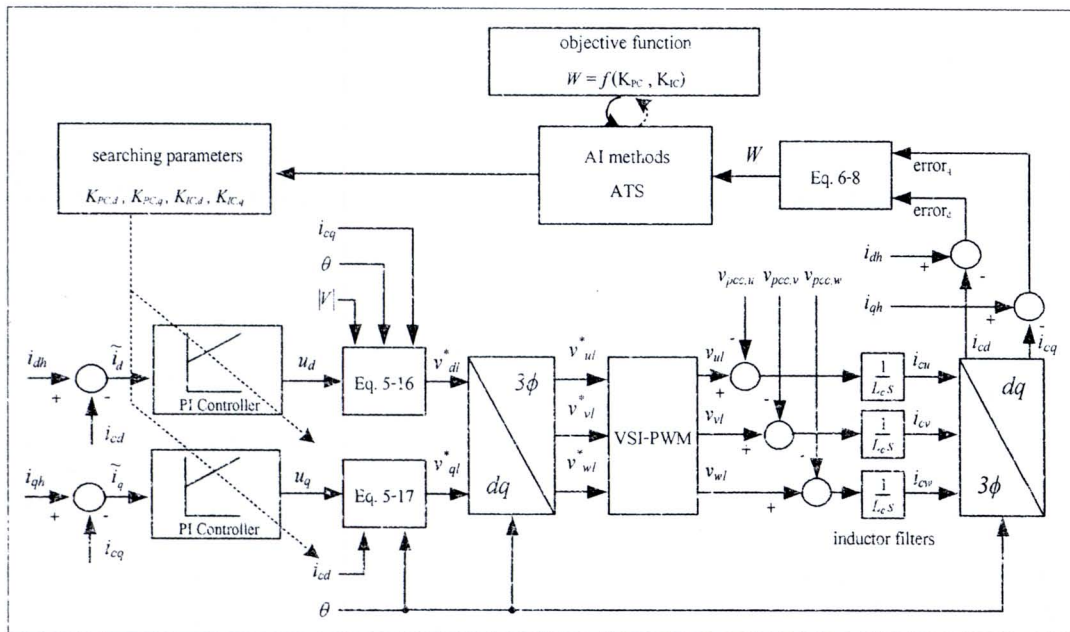
จากตารางที่ 6.6 พบว่า การออกแบบตัวควบคุมแบบพีไอด้วยวิธีการทางคณิตศาสตร์ให้ค่าการประเมินจากพังก์ชันวัตถุประสงค์ (W_{err}) เท่ากับ 0.029070 ในส่วนกรณีการออกแบบด้วยวิธี ATS ด้วยพารามิเตอร์ชุดเดิมให้ค่า W_{err} เท่ากับ 0.028704 และกรณีการออกแบบด้วยวิธี ATS ด้วยพารามิเตอร์ชุดใหม่จะให้ค่า W_{err} น้อยที่สุด เท่ากับ 0.028691 จากผลดังกล่าวสามารถยืนยันได้ว่าการออกแบบด้วยวิธี ATS ให้ค่าการประเมินที่ดีกว่าวิธีการดั้งเดิม อีกทั้งการออกแบบที่ได้รับการทดสอบพารามิเตอร์ของการคืนหาย จะมีสมรรถนะการคืนหายคำตอบที่ดี

6.5 การคืนหายแบบ 4 พารามิเตอร์ของตัวควบคุมพีไอ

การออกแบบตัวควบคุมแบบพีไอเพื่อปรับปรุงสมรรถนะการควบคุมกระแสเดียวด้วยวิธี ATS เป็นการคืนหายค่าพารามิเตอร์ K_{PC} และ K_{IC} เพื่อทดสอบกับระบบแบบแกนติวิวด้วยค่าพารามิเตอร์ชุดเดิมกัน อันเนื่องมาจากการออกแบบพารามิเตอร์ดังกล่าวด้วยวิธีการทางคณิตศาสตร์ให้ผลการออกแบบแบบแกนติ และแกนติวิวที่เหมือนกัน การออกแบบด้วยวิธี ATS ในข้างต้นจึงถูกนำมาใช้ในการคืนหายแบบเดิม ผู้วิจัยจึงได้ตั้งสมมุติฐานว่าการคืนหายค่าพารามิเตอร์

K_{PC} และ K_{IC} ที่อิสระต่อกันบนแกนเดียวกัน ($K_{PC,d}, K_{IC,d}, K_{PC,q}, K_{IC,q}$) มีความยึดหยุ่นกว่าแนวทางการค้นหาเดิม และอาจมีส่วนช่วยปรับปรุงสมรรถนะตัวควบคุมแบบพื้นที่ได้ดีขึ้นกว่าเดิม ได้สามารถพิจารณากระบวนการออกแบบ ได้ดังรูปที่ 6.8

6.5.1 การออกแบบค่าพารามิเตอร์ของตัวควบคุมพื้นที่ด้วยวิธีการค้นหาแบบตามเชิงปรับตัว



รูปที่ 6.8 แผนภาพโดยรวมการออกแบบตัวควบคุมแบบพื้นที่ด้วยวิธี ATS แบบ 4 พารามิเตอร์

จากรูปที่ 6.8 การปรับปรุงสมรรถนะตัวควบคุมแบบพื้นที่มีขั้นตอนการออกแบบเหมือนกับกรณีการค้นหาแบบ 2 พารามิเตอร์ แต่ต่างกันเฉพาะในส่วนฟังก์ชันวัตถุประสิทธิ์ของการค้นหาค่าพารามิเตอร์ ซึ่งกรณีนี้มีด้วยกันทั้งหมด 4 ค่า ได้แก่ $K_{PC,d}, K_{IC,d}, K_{PC,q}$ และ $K_{IC,q}$ ข้อแตกต่างดังกล่าวส่งผลให้การคำนวณค่าแรงดันจ้าวอิํง (u_d, u_q) ในสมการที่ (6-9) และสมการที่ (6-10) มีการปรับเปลี่ยนตามการค้นหาค่าพารามิเตอร์ด้วยวิธี ATS บนแกนเดียวกัน ดังสมการที่ (6-20) และสมการที่ (6-21) หลังจากนั้น แนวทางดำเนินการจะเหมือนกันกับขั้นตอนการออกแบบในหัวข้อที่ 6.4 และทำการประเมินค่า W_{err} ผ่านฟังก์ชันวัตถุประสิทธิ์ ตามสมการที่ (6-8) จนกระทั่งได้ค่าพารามิเตอร์ของตัวควบคุมแบบพื้นที่ที่เหมาะสมที่สุด

$$u_d(n) = K_{PC,d} \cdot \tilde{i}_d(n) + \frac{K_{IC,d} \cdot \tilde{i}_d(n)T}{2} \left((1^n) \cdot u(n) + (1^{n-1}) \cdot u(n-1) \right) \quad (6-20)$$

$$u_q(n) = K_{PC,q} \cdot \tilde{i}_q(n) + \frac{K_{IC,q} \cdot \tilde{i}_q(n)T}{2} \left((1^n) \cdot u(n) + (1^{n-1}) \cdot u(n-1) \right) \quad (6-21)$$

การจำลองสถานการณ์บนโปรแกรม m-file สำหรับการคืนหาค่าพารามิเตอร์ของตัวควบคุมทั้ง 4 ค่า ด้วยวิธี ATS แทนการจำลองสถานการณ์บนโปรแกรม simulink ได้รับการตรวจสอบ ความสัมพันธ์ระหว่างค่า W_{err} จากโปรแกรม m - file กับค่า %THD จากโปรแกรม simulink แสดงดังตารางที่ 6.7 ซึ่งเกตุได้ว่า ค่าพารามิเตอร์ของตัวควบคุมทั้ง 4 ค่า ที่ได้จากการคืนหามีอิสระต่อกัน ภายใต้ข้อบ่งบอกการคืนหาเดียวกัน ตามที่ได้กำหนดไว้ในหัวข้อที่ 6.3 ซึ่งผลการทดสอบพบว่า เมื่อค่า W_{err} ลดลง ค่า %THD ก็จะมีแนวโน้มลดลงด้วยเช่นกัน

ตารางที่ 6.7 ผลการเปรียบเทียบระบบบน m – file กับ simulink กรณีคืนหาแบบ 4 พารามิเตอร์

ค่าพารามิเตอร์				m-file (W_{err})	Simulink (%THD)
บันแคนดี		บันแคนคิว			
$K_{PC,d}$	$K_{IC,d}$	$K_{PC,q}$	$K_{IC,q}$		
21.22×10^3	131.99×10^6	28.30×10^3	16.43×10^6	0.028630	1.7113
35.89×10^3	139.44×10^6	47.88×10^3	81.54×10^6	0.028627	1.6860
38.89×10^3	147.63×10^6	48.00×10^3	175.33×10^6	0.028624	1.6766
23.83×10^3	87.24×10^6	30.38×10^3	78.22×10^6	0.028623	1.6558
33.74×10^3	60.16×10^6	42.51×10^3	9.84×10^6	0.028621	1.6231
26.84×10^3	82.66×10^6	34.60×10^3	80.30×10^6	0.028613	1.6205

6.5.2 การทดสอบพารามิเตอร์ของวิธีการคืนหาแบบคัญชี้ปรับตัว และผลการคืนหาค่าพารามิเตอร์ของตัวควบคุมแบบพีไอ

การคืนหานาฬิกาพารามิเตอร์ของตัวควบคุมด้วยวิธี ATS แบบ 4 พารามิเตอร์ จำเป็นต้องได้รับการทดสอบค่าพารามิเตอร์ของ ATS ทั้งนี้เพื่อให้ผลการทดสอบสมรรถนะการปรับปรุงตัวควบคุมดังกล่าวมีบรรทัดฐานเดียวกัน พารามิเตอร์ที่ใช้จึงต้องทำการทดสอบทั้งหมด 4 ค่า ได้แก่ จำนวนคำตอบเริ่มต้น จำนวนคำตอบรอบข้าง รัศมีเริ่มต้น และตัวปรับลดรัศมี เพื่อให้กระบวนการคืนหามีค่าพารามิเตอร์ของ ATS ที่เหมาะสมกับการคืนหานะในระบบ โดยผลการทดสอบแสดงได้ดังนี้

ตารางที่ 6.8 ผลการทดสอบจำนวนคำตอบเริ่มต้น กรณีคืนหาแบบ 4 พารามิเตอร์

ครั้งที่ ทดสอบ	ครั้งที่ 1	ครั้งที่ 2	ครั้งที่ 3	ครั้งที่ 4	ครั้งที่ 5	ค่าเฉลี่ย	SD
จำนวนคำตอบเริ่มต้นเท่ากับ 5 คำตอบ							
ค่า W_{err}	0.028628	0.028625	0.028625	0.028617	0.028628	0.028625	4.51×10^{-6}
รวม	8	6	12	6	8	8	2.45
จำนวนคำตอบเริ่มต้นเท่ากับ 10 คำตอบ							
ค่า W_{err}	0.028626	0.028627	0.028629	0.028623	0.028627	0.028626	2.19×10^{-6}
รวม	16	9	5	2	9	8.2	5.26
จำนวนคำตอบเริ่มต้นเท่ากับ 15 คำตอบ							
ค่า W_{err}	0.028622	0.028617	0.028629	0.028625	0.028629	0.028624	5.08×10^{-6}
รวม	8	6	12	12	6	8.8	3.03
จำนวนคำตอบเริ่มต้นเท่ากับ 20 คำตอบ							
ค่า W_{err}	0.028626	0.028627	0.028629	0.028621	0.028621	0.028625	3.63×10^{-6}
รวม	2	1	9	4	4	4	3.08
จำนวนคำตอบเริ่มต้นเท่ากับ 25 คำตอบ							
ค่า W_{err}	0.028606	0.028629	0.028624	0.028628	0.028622	0.028622	9.28×10^{-6}
รวม	5	9	17	8	3	8.4	5.37
จำนวนคำตอบเริ่มต้นเท่ากับ 30 คำตอบ							
ค่า W_{err}	0.028629	0.028626	0.028629	0.028628	0.028630	0.028628	1.52×10^{-6}
รวม	14	8	8	6	13	9.8	3.49

หมายเหตุ: จำนวนคำตอบรับข้างเท่ากับ 5 คำตอบ, ค่าวาร์ศมีเริ่มต้นเท่ากับ 0.5,

ค่าปรับลดค่าวาร์ศมีเท่ากับ 1.1

ตารางที่ 6.9 ผลการทดสอบจำนวนคำตอบรอบข้าง กรณีคืนหาแบบ 4 พารามิเตอร์

ครั้งที่ ทดสอบ	ครั้งที่ 1	ครั้งที่ 2	ครั้งที่ 3	ครั้งที่ 4	ครั้งที่ 5	ค่าเฉลี่ย	SD
จำนวนคำตอบรอบข้างเท่ากับ 10 คำตอบ							
ค่า W_{err}	0.028629	0.028624	0.028627	0.028630	0.028625	0.028627	2.55×10^{-6}
รวม	5	12	8	2	1	5.6	4.51
จำนวนคำตอบรอบข้างเท่ากับ 15 คำตอบ							
ค่า W_{err}	0.028628	0.028626	0.028618	0.028615	0.028629	0.028623	6.30×10^{-6}
รวม	5	6	3	3	5	4.4	1.34
จำนวนคำตอบรอบข้างเท่ากับ 20 คำตอบ							
ค่า W_{err}	0.028624	0.028628	0.028630	0.028613	0.028624	0.028624	6.57×10^{-6}
รวม	2	3	6	2	2	3	1.73
จำนวนคำตอบรอบข้างเท่ากับ 25 คำตอบ							
ค่า W_{err}	0.028619	0.028620	0.028625	0.028626	0.028621	0.028622	3.11×10^{-6}
รวม	6	2	4	4	5	4.2	1.48
จำนวนคำตอบรอบข้างเท่ากับ 30 คำตอบ							
ค่า W_{err}	0.028621	0.028616	0.028610	0.028622	0.028628	0.028619	6.77×10^{-6}
รวม	1	3	5	3	5	3.4	1.67
จำนวนคำตอบรอบข้างเท่ากับ 35 คำตอบ							
ค่า W_{err}	0.028621	0.028616	0.028625	0.028627	0.028626	0.028623	4.53×10^{-6}
รวม	1	1	2	3	6	2.6	2.07

หมายเหตุ: จำนวนคำตอบเริ่มต้นเท่ากับ 25 คำตอบ, ค่าวาร์คเมิร์เริ่มต้นเท่ากับ 0.5,

ค่าปรับลดค่าวาร์คเมิร์เท่ากับ 1.1

ตารางที่ 6.10 ผลการทดสอบค่ารัศมีเริ่มต้น กรณีกืนหัวแบบ 4 พารามิเตอร์

ครั้งที่ ทดสอบ	ครั้งที่ 1	ครั้งที่ 2	ครั้งที่ 3	ครั้งที่ 4	ครั้งที่ 5	ค่าเฉลี่ย	SD
ค่ารัศมีเริ่มต้นเท่ากับ 0.5							
ค่า W_{err}	0.028621	0.028616	0.028610	0.028622	0.028628	0.028619	6.77×10^{-6}
รวม	1	3	5	3	5	3.4	1.67
ค่ารัศมีเริ่มต้นเท่ากับ 1							
ค่า W_{err}	0.028613	0.028628	0.028624	0.028618	0.028627	0.028622	6.36×10^{-6}
รวม	7	8	3	5	4	5.4	2.07
ค่ารัศมีเริ่มต้นเท่ากับ 2							
ค่า W_{err}	0.028603	0.028610	0.028621	0.028620	0.028623	0.028615	8.56×10^{-6}
รวม	4	10	9	8	9	8	2.34
ค่ารัศมีเริ่มต้นเท่ากับ 3							
ค่า W_{err}	0.028621	0.028611	0.028628	0.028621	0.028628	0.028622	6.68×10^{-6}
รวม	5	14	15	8	14	11.2	4.44
ค่ารัศมีเริ่มต้นเท่ากับ 4							
ค่า W_{err}	0.028628	0.028627	0.028615	0.028617	0.028630	0.028623	6.88×10^{-6}
รวม	1	2	16	6	10	7	6.16
ค่ารัศมีเริ่มต้นเท่ากับ 5							
ค่า W_{err}	0.028624	0.028625	0.028628	0.028626	0.028625	0.028626	1.51×10^{-6}
รวม	1	14	13	2	8	7.6	6.02

หมายเหตุ: จำนวนคำตอบเริ่มต้นเท่ากับ 25 คำตอบ, จำนวนคำตอบรอบข้างเท่ากับ 30 คำตอบ,

ค่าปรับลดรัศมีเท่ากับ 1.1

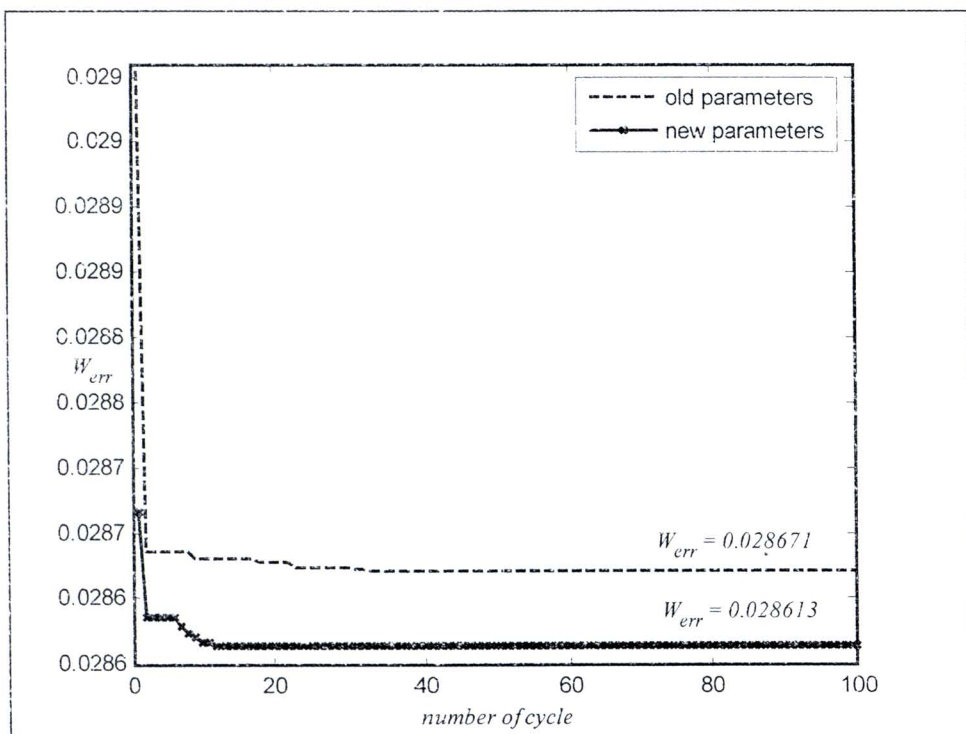
ตารางที่ 6.11 ผลการทดสอบค่าปรับลดรัศมี กรณีกันไฟแบบ 4 พารามิเตอร์

ครั้งที่ ทดสอบ	ครั้งที่ 1	ครั้งที่ 2	ครั้งที่ 3	ครั้งที่ 4	ครั้งที่ 5	ค่าเฉลี่ย	SD
ค่าปรับลดรัศมีเท่ากับ 1.1							
ค่า W_{err}	0.028603	0.028610	0.028621	0.028620	0.028623	0.028615	8.56×10^{-6}
รวม	4	10	9	8	9	8	2.34
ค่าปรับลดรัศมีเท่ากับ 1.2							
ค่า W_{err}	0.028622	0.028626	0.028628	0.028629	0.028620	0.028625	3.87×10^{-6}
รวม	8	1	5	9	6	5.8	3.11
ค่าปรับลดรัศมีเท่ากับ 1.3							
ค่า W_{err}	0.028621	0.028607	0.028618	0.028602	0.028624	0.028614	9.45×10^{-6}
รวม	8	5	6	5	6	6	1.22
ค่าปรับลดรัศมีเท่ากับ 1.4							
ค่า W_{err}	0.028626	0.028615	0.028629	0.028610	0.028624	0.028621	7.98×10^{-6}
รวม	1	4	4	2	4	3	1.41
ค่าปรับลดรัศมีเท่ากับ 1.5							
ค่า W_{err}	0.028625	0.028617	0.028619	0.028629	0.028611	0.028620	7.01×10^{-6}
รวม	3	1	1	3	4	2.4	1.34
ค่าปรับลดรัศมีเท่ากับ 1.6							
ค่า W_{err}	0.028625	0.028611	0.028622	0.028626	0.028622	0.028621	5.98×10^{-6}
รวม	1	2	4	3	4	2.8	1.30

หมายเหตุ: จำนวนค่าตอบเริ่มต้นเท่ากับ 25 ค่าตอบ, จำนวนค่าตอบรอบซึ่งเท่ากับ 30 ค่าตอบ,

ค่ารัศมีเริ่มต้นเท่ากับ 2

จากตารางที่ 6.8 ถึงตารางที่ 6.11 การเลือกค่าพารามิเตอร์การคืนหาวิธี ATS ใช้เกณฑ์พิจารณาจากค่า W_{err} เป็นประเด็นสำคัญ จำนวนรอบการคืนหา และค่าเบี่ยงเบนมาตรฐาน เป็นประเด็นรองลงมา ตามลำดับ ซึ่งใช้หลักการเลือกเช่นเดียวกับการคืนหาค่าพารามิเตอร์ของตัวควบคุมแบบ 2 พารามิเตอร์ ดังนี้ จากผลการทดสอบห้องทดลองให้พารามิเตอร์ของการคืนหาวิธี ATS มีจำนวนคำตอบเริ่มต้น เท่ากับ 25 คำตอบ จำนวนคำตอบรอบข้าง เท่ากับ 30 คำตอบ ค่ารัศมีเริ่มต้น เท่ากับ 2 และค่าปรับลดรัศมี เท่ากับ 1.3 ซึ่งค่าพารามิเตอร์ใหม่ (new parameters) ที่ได้จากการทดสอบนี้ให้ผลการลู่เข้าของค่า W_{err} เท่ากับ 0.028613 คิกว่าค่าพารามิเตอร์เดิม (old parameters) ที่ให้ผลการลู่เข้าของค่า W_{err} เท่ากับ 0.028671 มีผลการเปรียบเทียบแสดงได้ดังรูปที่ 6.9 และค่าพารามิเตอร์ของตัวควบคุมแบบพีไอที่ได้จากการคืนหาด้วยวิธี ATS แสดงได้ดังตารางที่ 6.12



รูปที่ 6.9 การลู่เข้าของค่า W กรณีคืนหาแบบ 4 พารามิเตอร์

ผลการออกแบบด้วยควบคุมพีไอโดยใช้วิธี ATS แบบ 4 พารามิเตอร์ จากตารางที่ 6.12 สังเกตได้ว่า การออกแบบด้วยควบคุมแบบพีไอด้วยพารามิเตอร์ของ ATS ชุดใหม่ให้ค่า W_{err} น้อยกว่าการอกรแบบด้วยพารามิเตอร์ของ ATS ชุดเก่า และการอกรแบบดังกล่าวยังคงให้ผลการประเมินดีกว่าวิธีการอกรแบบที่พึ่งพาแบบจำลองทางคณิตศาสตร์ ผลดังกล่าวยืนยันได้ว่าการอกรแบบด้วยแนวทางใหม่สามารถคืนหาพารามิเตอร์ของตัวควบคุมที่เหมาะสมกับระบบที่พิจารณาได้

ตารางที่ 6.12 ผลการเปรียบเทียบสมรรถนะการกำจัดสารมอนิกของตัวควบคุมแบบพีไอ

กรณีคันหาแบบ 4 พารามิเตอร์

ค่าพารามิเตอร์	ชนิดของตัวควบคุมกระแสชดเชย		
	PI+MATH	PI+ATS (old parameter)	PI+ATS (new parameter)
$K_{PC,d}$	0.87×10^3	40.59×10^3	26.84×10^3
$K_{IC,d}$	9.62×10^6	168.73×10^6	82.66×10^6
$K_{PC,q}$	0.87×10^3	49.22×10^3	34.60×10^3
$K_{IC,q}$	9.62×10^6	460.43×10^6	80.30×10^6
W_{err}	0.029070	0.028671	0.028613

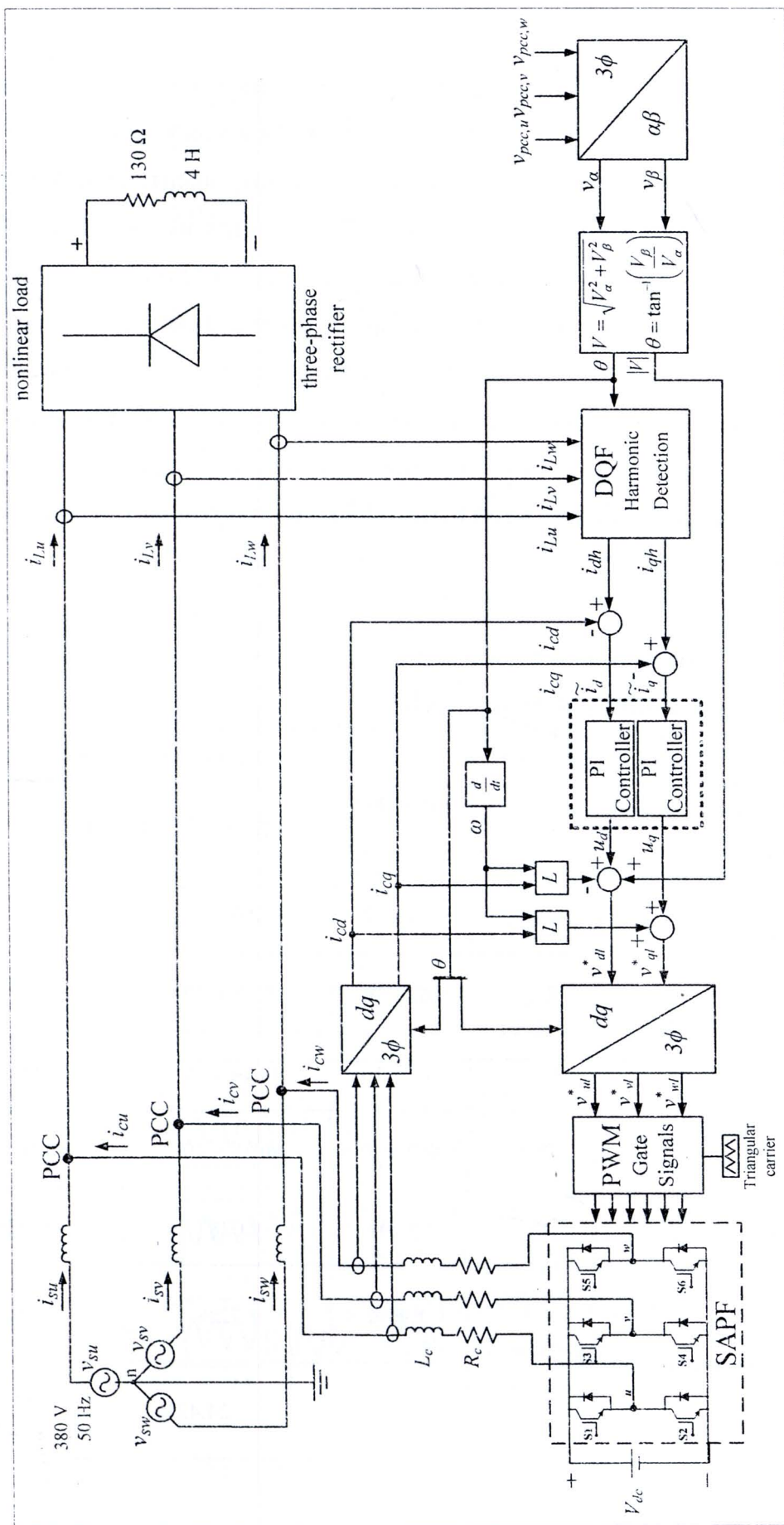
6.6 ผลการจำลองสถานการณ์และการอภิปรายผล

การจำลองสถานการณ์การกำจัดสารมอนิก ในบทนี้เพื่อต้องการทดสอบสมรรถนะตัวควบคุมแบบพีไอในส่วนของระบบควบคุมกระแสชดเชย ด้วยเหตุนี้การทดสอบดังกล่าวจะไม่พิจารณาผลกระทบที่เกิดขึ้นจากระบบควบคุมแรงดันบัสไฟตรง ดังนั้น จึงเลือกใช้แหล่งจ่ายแรงดันไฟฟ้ากระแสตรงที่จ่ายให้กับวงจรกรองกำลังแยกที่ฟื้มค่าคงที่ เท่ากับ 750 V โดยมีระบบไฟฟ้าที่พิจารณาแสดงได้ดังรูปที่ 6.10 ในงานวิจัยนี้ได้นำเสนอการเปรียบเทียบตัวควบคุมแบบพีไอ ที่มีการออกแบบค่าพารามิเตอร์ $K_{PC,d}$ $K_{IC,d}$ $K_{PC,q}$ และ $K_{IC,q}$ ใน 2 แนวทางดังต่อไปนี้

แนวทางที่ 1 การออกแบบโดยอาศัยแบบจำลองทางคณิตศาสตร์ ดังที่ได้อธิบายไว้ในบทที่ 5

แนวทางที่ 2 การออกแบบด้วยวิธี ATS ที่ประเมินจากค่าผลต่างระหว่างค่ากระแสชดเชยกับค่ากระแสอ้างอิงสำหรับการคันหาแบบ 2 พารามิเตอร์ และแบบ 4 พารามิเตอร์ ที่ได้นำเสนอไว้ในหัวข้อที่ 6.4 และหัวข้อที่ 6.5 ตามลำดับ

ผลการจำลองสถานการณ์ได้พิจารณาในช่วงเวลาตั้งแต่ 0 วินาที ถึง 0.20 วินาที เนื่องจากในช่วงเวลาดังกล่าวระบบเข้าสู่สภาพะคงตัว การทดสอบทั้งสองแนวทางข้างต้นให้ผลการเปรียบเทียบสมรรถนะการจัดกระแสชดเชยของวงจรกรองกำลังแยกที่ฟ์แบบนานของตัวควบคุมแบบพีไอ แสดงได้ดังตารางที่ 6.13



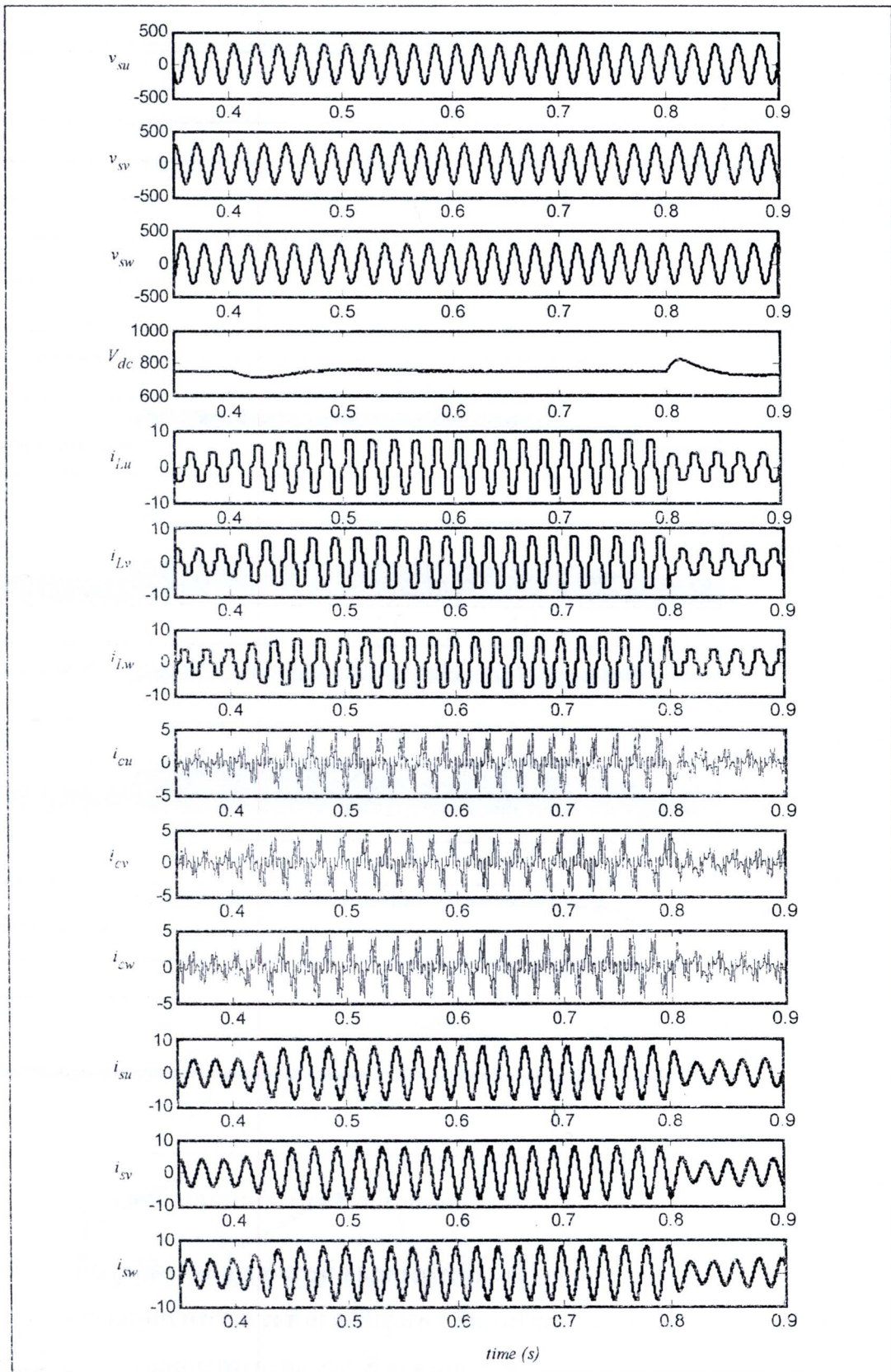
ບັນທຶກ 6.10 ຈະນູນຕາຫວີ້ນກາຮົດສອນທົດສອນສໍາງພະອອກຕົວປຸດມູນປົກລົງ

จากตารางที่ 6.13 ได้นำเสนอผลการเปรียบเทียบสมรรถนะของตัวควบคุมแบบพีไอ ภายหลังการทดสอบ พบว่า ผลการคำนวณรัมอนิกในการนี้การออกแบบด้วยวิธีการดังเดิมให้ค่า W_{err} และค่า W_{res} เท่ากับ 0.0291 และ 0.208080 ตามลำดับ มีค่า $\%THD_{av}$ ของกระแสไฟฟ้าด้านแหล่งจ่าย เท่ากับ 1.96 เปอร์เซ็นต์ ในส่วนกรณีการออกแบบด้วยวิธี ATS แบบคันหา 2 พารามิเตอร์ให้ค่า W_{err} เท่ากับ 0.0287 มีค่า $\%THD_{av}$ ของกระแสไฟฟ้าด้านแหล่งจ่าย เท่ากับ 1.72 เปอร์เซ็นต์ และกรณีการออกแบบด้วยวิธี ATS แบบคันหา 4 พารามิเตอร์ให้ค่า W_{err} เท่ากับ 0.0286 ซึ่งน้อยกว่าแนวทางในข้างต้น ส่งผลให้มีค่า $\%THD_{av}$ ของกระแสไฟฟ้าด้านแหล่งจ่ายน้อยที่สุด เท่ากับ 1.62 เปอร์เซ็นต์ และเนื่องจากวัตถุประสงค์ของงานวิจัย ต้องการออกแบบค่าพารามิเตอร์ของตัวควบคุมแบบพีไอ ให้มีสมรรถนะการควบคุมการฉีดกระแสไฟฟ้าที่ดีที่สุด โดยที่วัดจากค่า $\%THD_{av}$ ภายหลังการทดสอบ ทางด้านแหล่งจ่ายกำลังไฟฟ้าหลัก ดังนั้น ผู้วิจัยจึงได้เลือกแนวทางการออกแบบค่าพารามิเตอร์ของตัวควบคุมด้วยวิธี ATS แบบคันหา 4 พารามิเตอร์ ที่ให้ค่า $\%THD_{av}$ น้อยที่สุด

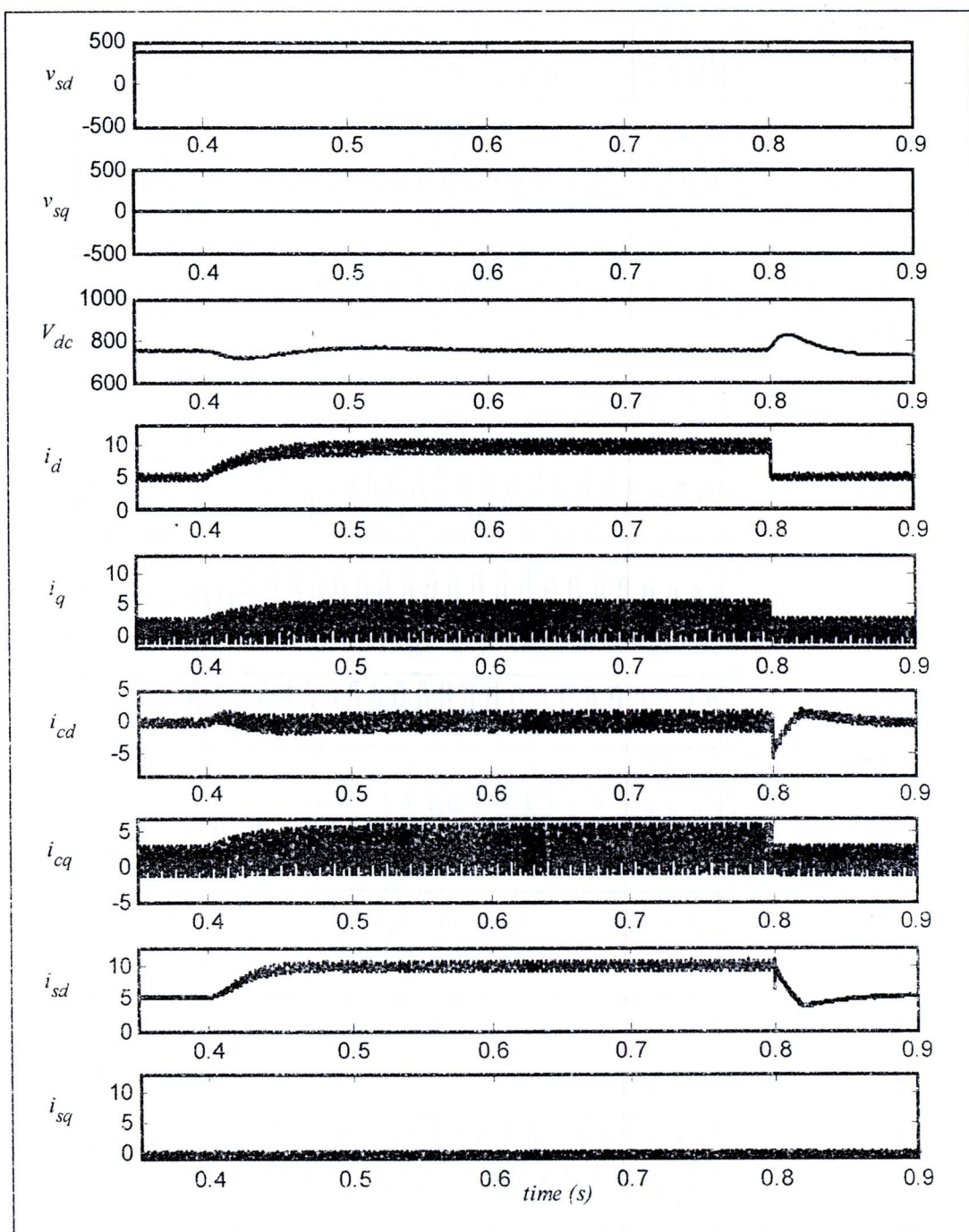
ตารางที่ 6.13 ผลการเปรียบเทียบสมรรถนะการฉีดกระแสไฟฟ้าของวงจรรองกำลังแยกทีฟ

แบบบานานของตัวควบคุมแบบพีไอ

ค่าพารามิเตอร์	แนวทางการออกแบบ	คณิตศาสตร์	การคันหาแบบตากูเชิงปรับตัว	
			แบบ 2 พารามิเตอร์	แบบ 4 พารามิเตอร์
ตัวควบคุมแบบพีไอ	$K_{PC,d}$	0.87×10^3	48.54×10^3	26.84×10^3
	$K_{IC,d}$	9.62×10^6	80.18×10^6	82.66×10^6
	$K_{PC,q}$	0.87×10^3	48.54×10^3	34.60×10^3
	$K_{IC,q}$	9.62×10^6	80.18×10^6	80.30×10^6
ค่าวัตถุประสงค์	W_{err}	0.0291	0.0287	0.0286
ผลการจำลองสถานการณ์	% THD_{av} (หลังการทดสอบ)	1.96%	1.72%	1.62%
	% THD_{av} (ก่อนการทดสอบ)	24.42%		



รูปที่ 6.11 ผลการจำลองสถานการณ์ทั้งระบบบนเกณฑ์สามเพลิง

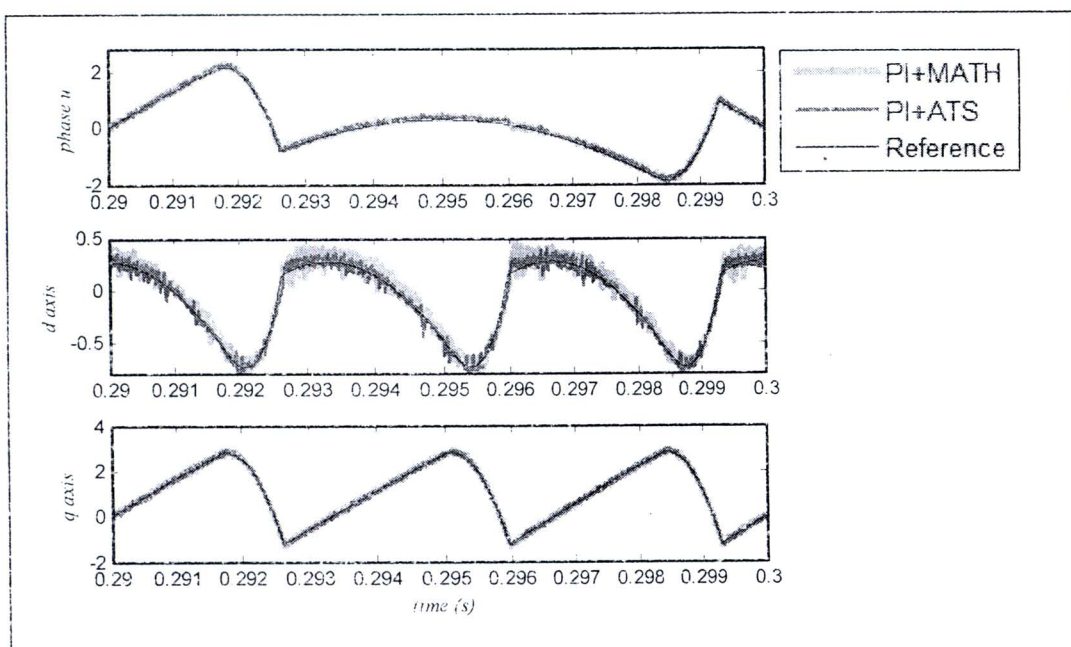


รูปที่ 6.12 ผลการจำลองสถานการณ์ทั้งระบบบนแกนดีคิว

ผลการจำลองสถานการณ์ของทั้งระบบบนแกนสามเฟส แสดงได้ดังรูปที่ 6.11 โดยอ้างอิงจากระบบการจำลองสถานการณ์ในบทที่ 5 ตามรูปที่ 5.10 ซึ่งรวมการควบคุมกระแสเดย์คิวตัวควบคุมแบบพีไอที่มีการปรับปรุงสมรรถนะด้วยวิธี ATS และการควบคุมแรงดันบัสไฟตรงด้วยตัวควบคุมแบบพีไอที่ออกแบบโดยอาศัยแบบจำลองทางคณิตศาสตร์ เมื่อกำหนดโหลดของวงจรเรียง

กระแสสามเฟสมีการเปลี่ยนแปลงที่เวลา 0.4 วินาที และที่เวลา 0.8 วินาที ปรากฏว่า กระแสที่แหล่งจ่ายมีการเปลี่ยนแปลงตามพหุติกรรมของโหลด แต่ยังคงสามารถควบคุมกระแสเดชเชย (i_{cd}, i_{cq}) ให้มีรูปสัญญาณใกล้เคียงกับกระแสเดลลิง (i_{dh}, i_{qh}) และสามารถควบคุมแรงดันบัสไฟฟ้า (V_{dc}) ให้คงที่ เท่ากับ 750 V ทำให้ได้สมรรถนะการกำจัด荷าร์มอนิกที่ดี โดยดูได้จากรูปสัญญาณกระแสที่แหล่งจ่ายกำลังไฟฟ้าหลัก (i_{sd}, i_{sv}, i_{sw}) มีลักษณะเป็นรูปสัญญาณไขชนมากขึ้น เมื่อเทียบกับรูปสัญญาณกระแสไฟฟ้าทางด้านแหล่งจ่ายก่อนมีการขาดเชย

การจำลองสถานการณ์ในระบบเดี๋ยวกันนี้ ได้แสดงลักษณะรูปสัญญาณห้องระบบที่พิจารณาอยู่บนแกนเดียว ดังรูปที่ 6.12 โดยเริ่มต้นจากแรงดันที่แหล่งจ่ายกำลังไฟฟ้าหลักบนแกนเดียว (v_{sd}, v_{sq}) มีค่าเท่ากับ 381 V และ 0 V ตามลำดับ แรงดันบัสไฟฟ้า (V_{dc}) มีการควบคุมให้คงที่เท่ากับ 750 V ในลำดับถัดมา คือ การพิจารณาขั้นตอนการกำจัด荷าร์มอนิกในระบบ เริ่มต้นจาก การตรวจจับสัญญาณของกระแสเดลลิงอนิกที่โหลดบนแกนเดียว (i_d) และแกนคิว (i_q) เพื่อส่งผ่านไปยังส่วนการแยกปริมาณกระแสเดลลิงอนิกที่อยู่บนแกนเดียว ออกจากปริมาณกระแสที่ความถี่มูลฐานด้วยวิธี DQF เพื่อนำไปสู่ขั้นตอนการควบคุมกระแสเดชเชยจริงบนแกนเดียว (i_{cd}, i_{cq}) จนสามารถทำให้รูปสัญญาณกระแสเดลลิงหลังการขาดเชยที่แหล่งจ่ายกำลังไฟฟ้าหลัก (i_{sd}, i_{sq}) มีค่าคงที่ เท่ากับ 5.2 A ถึง 9.85 A บนแกนเดียว และคงที่ เท่ากับ 0 A บนแกนคิว โดยปริมาณที่ไม่ปรากฏขึ้นบนแกนคิว เป็นของจากระบวนการตรวจจับสาร์มอนิกด้วยวิธี DQF สามารถดูเชยค่ากำลังรีแอคทีฟของระบบ รายละเอียดต่างๆ ได้กล่าวไว้แล้วในบทที่ 3



รูปที่ 6.13 เปรียบเทียบผลการติดตามกระแสเดชเชย

จากรูปที่ 6.13 เป็นการเปรียบเทียบสมรรถนะตัวควบคุมแบบพีไอ ซึ่งพิจารณาจากความผิดพลาดในการติดตามค่ากระแสอ้างอิง (tracking error) จากรูปดังกล่าว สังเกตได้ว่า การออกแบบตัวควบคุมด้วยวิธี ATS มีลักษณะรูปสัญญาณคล้อยตามสัญญาณกระแสอ้างอิงที่ดีกว่าการออกแบบด้วยวิธีการดึงเดิน ดังนั้น การออกแบบด้วยวิธีการดึงกล่าวทำให้ระบบควบคุมกระแสใช้เชยมีสมรรถนะการติดตามค่ากระแสอ้างอิงที่ดี

6.7 สรุป

บทนี้ได้นำเสนอการปรับปรุงสมรรถนะตัวควบคุมแบบพีไอ ด้วยวิธีการค้นหาแบบตามเชิงปรับตัว โดยการกำหนดเป้าหมายการประเมินค่า 2 แนวทาง ได้แก่ การประเมินจากผลต่างระหว่างค่ากระแสและเซย์กับค่ากระแสอ้างอิง ด้วยกรณีการค้นหาแบบ 2 พารามิเตอร์ และแบบ 4 พารามิเตอร์ ซึ่งจากการจำลองสถานการณ์ของระบบกำจัดชาร์มอนิกที่มีการออกแบบด้วยควบคุมพีไอด้วยสองแนวทางดังกล่าว พบว่า การออกแบบค่าพารามิเตอร์ของตัวควบคุมแบบพีไอ ด้วยการประเมินจากผลต่างระหว่างค่ากระแสและเซย์กับค่ากระแสอ้างอิงกรณีการค้นหาแบบ 4 พารามิเตอร์ ให้ผลการออกแบบดีที่สุด โดยชี้วัดจากค่า $\%THD_{av}$ ของกระแสไฟฟ้าทางด้านแหล่งจ่ายภายหลังการซัดเซย์ ซึ่งผลจากการออกแบบด้วยวิธี ATS ทำให้ค่า $\%THD_{av}$ ที่ได้ลดลงกว่าการออกแบบด้วยวิธีการดึงเดิน เท่ากับ 17.35 เปอร์เซ็นต์ ล่างผลให้ปริมาณชาร์มอนิกลดลงจากก่อนการซัดเซย์ เท่ากับ 93.37 เปอร์เซ็นต์ อีกทั้งค่า $\%THD_{av}$ ที่ได้เป็นไปตามมาตรฐาน IEEE Std. 519-1992